# ЭЛЕКТРОННОЕ СТРОЕНИЕ СОЕДИНЕНИЙ $La_{1+N}Ni_NO_{3N+1}$ (N=1, 2, 3.. $\infty$ ): РЕНТГЕНОВСКИЕ СПЕКТРЫ И ЗОННЫЕ РАСЧЕТЫ В ЛППВ-ПРИБЛИЖЕНИИ

# Уваров В.Н., Сенкевич А.И., <u>Урубков И.В.</u>

Институт металлофизики им. Г.В. Курдюмова НАН Украины, бульв. акад. Вернадского, 36, Киев-142, 03680 ГСП, Украина

Факс: 38 (044) 424 2561, E-mail: urubkov@imp.kiev.ua

#### Введение

Лантаноидсодержащие оксиды никеля обладают целым рядом физических свойств, интересных как с научной, так и с практической точек зрения. При определенном температуре, давлении составе, никелиты редкоземельных элементов (НРЗЭ) испытывают переходы металл - изолятор, меняют тип магнитного упорядочения. Химическое и пространственное строение позволяют использовать эти вещества и в качестве мембран для выделения чистого кислорода из различных газовых смесей. Члены гомологического ряда оксидных соединений с составом  $La_{n+1}Ni_nO_{3n+1}$  $(n=1, 2, 3.. \infty)$  интересны тем, что в комбинации с твердым оксидным электролитом они способны длительно работать в качестве катодов при повышенных температурах в газовых средах с высоким парциальным давлением кислорода.

Очевидно, что перечисленные выше свойства в основном определяются и управляются электронной структурой данных оксидов. Целью настоящей работы являлось исследование электронного строения соединений в проводящем состоянии: установление картины химических связей, обнаружение корреляции между кристаллической и электронной структурами.

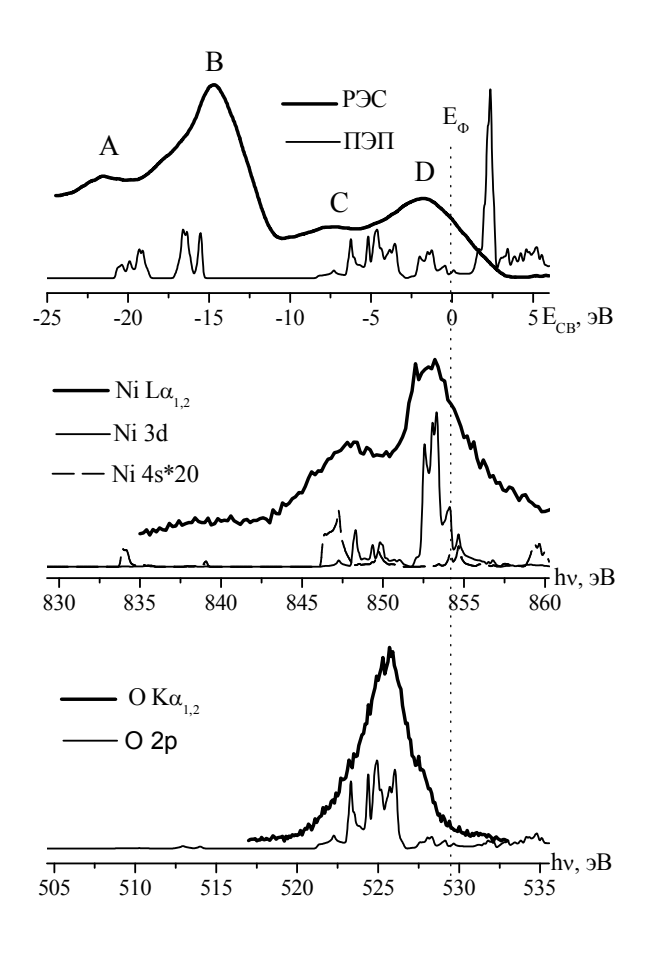
Для решения этих задач применен комплексный подход, основанный на использовании рентгеноэлектронных и рентгеновских эмиссионных спектров, а также результатов зонных расчетов в ЛППВ- приближении [1] с градиентной аппроксимацией электронной плотности в форме [2].

## Результаты и обсуждение

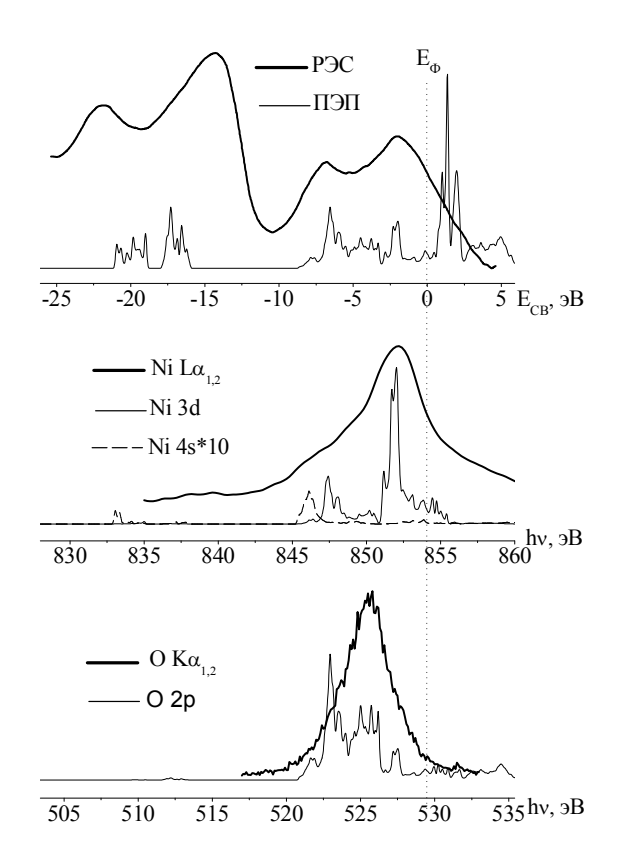
На рис. 1-4 приведены рентгеноэлектронные, рентгеновские спектры и результаты квантовомеханических расчетов, совмещенные в единой энергетической шкале. Положения уровня Ферми ( $E_{\Phi}$ ) для рентгеновских спектров никеля и кислорода определены по рентгеноэлектронным спектрам Ni2 $p_{3/2}$ - и O1s- уровней.

Видно, что результаты расчета и эксперимента хорошо согласуются друг с другом. Из рисунков видно, что валентная полоса каждого

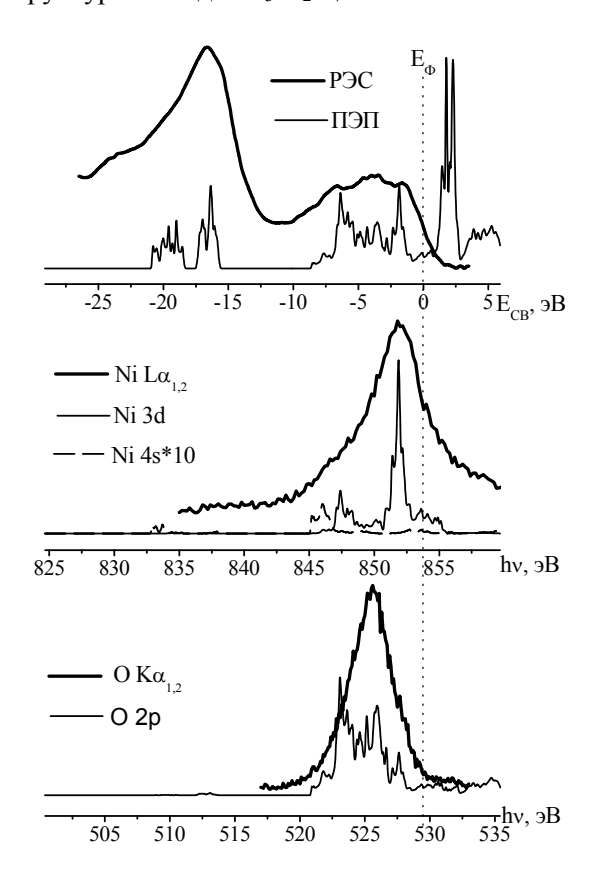
из соединений состоит из двух энергетически разделенных частей. Анализ расчетных данных показывает, что зона глубоких состояний расположена в интервале энергий от -21 до -15 эВ и представлена в основном гибридизо ваными La5p- и O2s-состояниями.



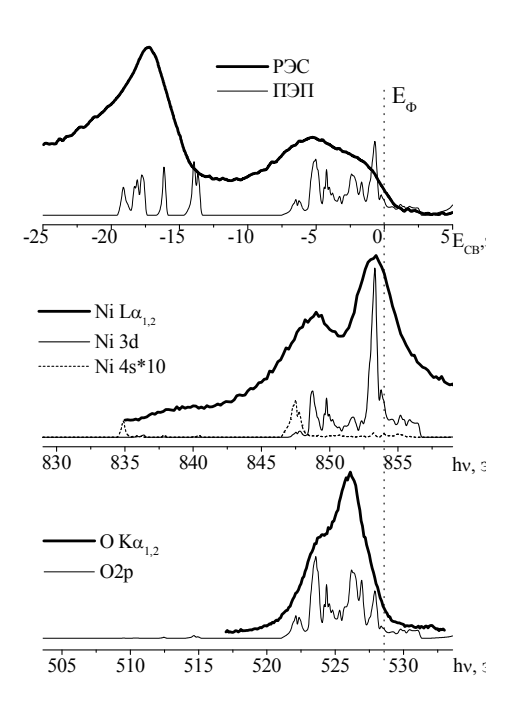
**Рис.1.** Рентгеноэлектронные (РЭС- здесь и далее в рисунках), рентгеновские  $NiL\alpha_{1,2}$ -  $OK\alpha_{1,2}$ - спектры и результаты расчета электронной структуры окисла  $La_2NiO_4$ : ПЭП-полная электронная плотность; вертикальные линии ( $E_\Phi$ ) здесь и далее в рисунках соответствуют положению уровня Ферми; горизонтальные оси отображают энергии связи ( $E_{cb.}$ ) электронов и энергии (hv) рентгеновских фотонов.



**Рис.2.** Результаты исследований электронной структуры оксида La<sub>3</sub>Ni<sub>2</sub>O<sub>7</sub>.



**Рис.3.** Результаты исследований электронного строения соединения  $La_4Ni_3O_{10}$ .



**Рис.4.** Результаты исследований электронной структуры оксида LaNiO<sub>3</sub>.

Прифермиевская полоса, сформированная преимущественно O2p- и Ni3d-орбиталями, простирается на глубину порядка 89B от уровня Ферми. На уровне Ферми доминируют  $3d_{z^2}$ -электроны никеля. Зона проводимости представлена в основном свободными La4f-и La5d-состояниями.

При дальнейшем анализе расчетных данных становится очевидно, что с ростом n происходит перенос электронной плотности с Ni3 $d_z$ 2-на Ni3 $d_x$ 2-р6 обитали. Это приводит к ослаблению ковалентных  $\sigma$ -связей между La-O и Ni-O слоями, а также вызывает значительное падение заселенности уровня Ферми. Проводимость соединений ряда La $_{n+1}$ Ni $_n$ O $_{3n+1}$  (n=1,2,3) должна падать с ростом n.

#### Выводы

- 1. На уровне Ферми соединений  $La_{n+1}Ni_nO_{3n+1}$  (n=1, 2, 3) превалируют  $Ni3d_z2$ -состояния.
- 2. С ростом n происходит перенос электронной плотности с Ni3 $d_z$ 2- на Ni3 $d_x$ 2- $_y$ 2-орбитали с сопутствующим понижением электронной плотности на уровне Ферми, чем может быть обусловлено снижение проводимости при переходе от La<sub>2</sub>NiO<sub>4</sub> к La<sub>4</sub>Ni<sub>3</sub>O<sub>10</sub>.

### Литература

- 1. Singh D. Plane waves, psedopotentials and LAPW method. Kluwer Academic, 1994.
- 2. Perdew J.P., Burke S., Ernzerhof M., Phys.Rev.Let. 1996;77: 3865.